

بررسی آثار الکترواپتیک درجه دوم در نقاط کوانتومی کادمیوم تلوراید

خلاصه

علی‌اکبر عبدالله زاده ضیابری

مقدمه: در دهه گذشته، استقبال و توجه به استفاده از لیزرهای نقطه کوانتومی (Quantum dot) شتاب روزافرونوی یافته است. بهدلیل تنظیم‌پذیری بالای این گونه لیزرهای و درنتیجه امکان انعطاف فوق العاده در توان خروجی آن‌ها کاربردهای بی‌شماری به‌ویژه در حوزه جراحی‌های مربوط به بافت‌های حساس و توموگرافی پیدا شده است. ویژگی‌های منحصر به‌فرد نقاط کوانتومی سبب می‌گردد که خصوصیات و کاربردهای بسیار ممتازتری در قیاس با لیزرهای معمول و حتی لیزرهای چاه کوانتومی (Quantum well) داشته باشند. محیط‌های گین لیزری (Laser gain media) که از اجزاء اصلی سیستم لیزر هستند، دارای پذیرفتاری اپتیکی غیرخطی غیر صفر هستند تا امکان جفت‌شدگی فازی را داشته باشند. در این پژوهش تلاش برآن است که امکان ایجاد تغییرات در این ویژگی و درنتیجه امکان مهندسی بر روی شدت لیزر به‌دست آمده با کاوش ابعاد سیستم بررسی گردد. بدین‌منظور با استفاده از تئوری‌های پایه مربوط به گذارهای اپتیکی اصلی و آمیختن آن‌ها با مقاومیت محدودیت کوانتومی، پذیرفتاری اپتیکی غیرخطی مرتبه سوم برای نقاط کوانتومی نمونه‌ای نانوکریستال‌های تلوراید کادمیوم CdTe به‌ازای پارامترهای گوناگون محاسبه شده و تغییرات آن مورد بررسی قرار گرفته است.

روش بررسی: در این مطالعه آثار اکسیتوني (Excitonic) برروی ویژگی‌های اپتیکی غیرخطی مرتبه سوم در نقاطهای کوانتومی سهموی دیسکمانند مطالعه شده و توان نوسان‌گر اکسیتوني و پذیرفتاری اپتیکی غیرخطی مرتبه سه مربوط به حضور اکسیتون در نقاط کوانتومی سهموی بهصورت تئوریک مورد بررسی قرار گرفته است و پذیرفتاری اپتیکی غیرخطی مرتبه سوم در نقاط کوانتومی سهموی با به‌کارگیری مدل سه ترازی گذارهای اکسیتون-بای اکسیتون (Biexciton) محاسبه شده است. در نهایت، نتایج عددی برای نقاط کوانتومی نمونه‌ای تلوراید کادمیوم CdTe ارائه گردیده‌اند. برای دستیابی به مقالات مرتبط موجود جستجو در سایتهاي Elsevier و IOP و American Physical Society (APS)

صورت پذیرفت.

یافته‌ها: بخش‌های حقیقی و موهومی پذیرفتاری غیرخطی مرتبه سوم مربوط به نانوساختار کادمیوم تلوراید محاسبه گردید و منحنی پاشندگی آن‌ها به‌ازای فرکانس برانگیختگی 10^{13} هرتز ترسیم گردید. سپس پذیرفتاری اپتیکی غیرخطی مرتبه سوم به‌ازای فرکانس‌های فوتونی محدودساز مختلف بررسی شدند. هنگامی که بسامد محدودسازی سهمویار افزایش می‌یابد، مکان پیک رزونانس اکسیتونی به سمت راست منحنی جایجا می‌گردد که جایجا آبی (Blue-shift) محدودیت القاء شده شدید رزونانس اکسیتون را در نقاط کوانتومی نیمه‌رسانا پیش‌بینی می‌کند.

نتیجه‌گیری: نتایج نشان می‌دهند که پذیرفتاری اپتیکی غیرخطی مرتبه سه به‌دلیل کوانتیزه‌شدن مناسب در نقاط کوانتومی افزایش بسیاری یافته است. این امر نقاط کوانتومی سهمویار را به عنوان گزینه‌ای امیدبخش در کاربردهای اپتیکی غیرخطی و به‌ویژه لیزرهای نیمه‌رسانا با قابلیت تنظیم‌پذیری بالا مطرح می‌سازد.

واژه‌های کلیدی: اکسیتون، لیزرهای نقطه کوانتومی، نقاط کوانتومی سهمویار، پذیرفتاری اپتیکی غیرخطی مرتبه سوم.

مریبی، عضو هیئت علمی، گروه فیزیک، دانشگاه آزاد اسلامی واحد لاهیجان

مقدمه

نقاط کوانتومی کریستال‌های نیمه‌رسانا نانومتری هستند که از ترکیب عناصر گروه‌های دوم و چهارم یا سوم و پنجم ساخته می‌شوند و به صورت ذراتی تعریف می‌گردند که دارای ابعاد کوچک‌تر از شعاع اکسیتون بوده (Exciton Bohr radius) می‌باشند. نانوذرهای فلزی و نیمه‌رسانا با ابعادی در بازه ۲ تا ۶ نانومتر دارای اهمیت بسیاری هستند، زیرا ابعاد آن‌ها قابل قیاس با ماکرومولکول‌های بیولوژیکی

نویسنده مسئول: علی‌اکبر عبدالله زاده، گیلان، لاهیجان، خیابان کاشف شرقی، دانشگاه آزاد اسلامی لاهیجان، دانشکده علوم، گروه فیزیک، تلفن: ۰۳۳۳۶ (۰۳۳۳۶)، ۰۲۴۷۰۰۸-۹، ۰۱۴۱-۲۲۴۷۰۰۸-۹، ۰۳۳۳۷۸۵۰۳، پست الکترونیک: Ali_abdolahzadeh@liau.ac.ir

غیرخطی مرتبه سه را در سیم‌های کوانتومی سیلیکونی مورد بررسی قرار داد و همچنین افزایش ویژگی‌های اپتیکی غیرخطی به سبب آثار اکسیتونی را نشان داد [۴]. در این مقاله تلاش می‌شود تا آثار اکسیتونی به عنوان پیامدی از کاهش ابعاد (در حد نانومتر) برروی ویژگی‌های اپتیکی غیرخطی مرتبه سه مورد مطالعه قرار گیرد. این پارامتر به عنوان عامل تعیین‌کننده در جفت‌شدگی فازی و درنتیجه توان بازیکه لیزر خروجی، یکی از مهم‌ترین بخش سیستم‌های لیزر مورد استفاده در تصویربرداری و جراحی بافت‌های حساس می‌باشد. برای تبیین نتایج اثر کوچک‌شدن ابعاد بر روی پارامتر یاد شده، بیان برخی مفاهیم بنیادی ناگزیر می‌نماید. در این کار نخست مروز کلی و بنیادی بر روی برانگیختگی‌های الکترونی در نقاط کوانتومی سهموی صورت پذیرفته است. در بخش دو، حالت‌های الکترونی در نقاط کوانتومی توصیف گردیده‌اند. برانگیختگی‌های الکترونی پایه بدون لحاظ کردن مجموعه برانگیختگی‌ها حالت‌های اکسیتونی در نظر گرفته شده‌اند. در بخش سه، قدرت نوسان‌گر اکسیتونی مربوط به گذارهای اپتیکی اصلی از حالت پایه به پایین‌ترین حالت اکسیتونی در نقاط کوانتومی بررسی شده‌اند. در بخش چهار، پذیرفتاری اپتیکی غیرخطی مرتبه سه در نقاط کوانتومی کادمیوم تلوایید به عنوان یک کامپوزیت مطرح در ساخت ابزار لیزر نیمه‌رسانا محاسبه گردیده است. نتایج نشان‌گر آن هستند که پذیرفتاری اپتیکی غیرخطی به دلیل آنکه اکسیتون‌ها در نقاط کوانتومی جای گزیده‌اند، بهشت افزایش یافته است. این امر نویدبخش تحولی مهم در تولید باریکه‌های با قابلیت تنظیم پذیری بالا می‌باشد.

برانگیختگی‌های الکترونی در نقاط کوانتومی سهموی
انرژی‌های گوناگونی یک نقطه کوانتومی را مشخص می‌کنند. نخستین آن‌ها انرژی‌های کوانتش اندازه (Size-quantization) الکترون یک الکترون و حفره ΔE_V می‌باشد. دومی آن‌ها کنش کولنی میانگین بین انرژی برهمکنش V_{int} بین دو برانگیختگی وقتی که در چارچوب نقطه کوانتومی شکل می‌گیرند، می‌باشد. برهمکنش اکسیتون-اکسیتون سبب انحراف اکسیتون‌ها از نوسان‌گر هماهنگ آرمانی می‌شود. در نقاط کوانتومی نانومتری، محدودیت کوانتومی انرژی بستگی اکسیتونی را به طور عمدۀ افزایش می‌دهد و آن را بسیار بزرگ‌تر از انرژی کوانتش اندازه الکترون‌ها و حفره‌ها می‌سازد. در ادامه تنها به بررسی حالت برانگیخته الکترونی در چارچوب نقطه کوانتومی را می‌توان با اکسیتون فرنکل Frenkel به شکل زیر بیان کرد:

$$\psi_n = \sum_i R_n(i) W_i^c(r_i) \prod_{j \neq i} W_j^v(r_j) \quad (1)$$

لیزر نقطه کوانتومی یک لیزر نیمه‌رسانا است که از نقاط کوانتومی به عنوان محیط فعال لیزر در بخش گسیلش نور خود بهره می‌گیرد. به دلیل محدودیت شدید حامل‌های بار، نقاط کوانتومی ساختار الکترونی همسان با اتم‌ها از خود بروز می‌دهند. برخلاف لیزرهای حالت جامد و گازی معمولی، لیزرهای نقطه کوانتومی انرژی بسیار کمتری مصرف می‌کنند. به تازگی، ابزارهایی که برپایه محیط‌های فعال نقاط کوانتومی هستند همانند چاقوی جراحی لیزری (Laser scalpel) و توموگرافی اپتیکی همدوش (Optical coherence tomography) گسترشده‌ای در پزشکی یافته‌اند. انتشار نور توسط نقاط کوانتومی در تشخیص‌های پزشکی کاربردهای فراوان دارد. این نقاط به صورت برچسب فلوروسنتی عمل می‌کنند با این تفاوت که در برابر درخشناد شدن، خاصیت و توانایی خود را از دست نمی‌دهند و در برابر تعداد سیکل‌های تحریک و انتشار نور مقاومت بیشتری از خود نشان (Laser gain media) می‌دهند. اصولاً همه محیط‌های گین لیزری (Laser gain media) دارای پذیرفتاری اپتیکی غیرخطی مرتبه سوم غیرصفر هستند (یعنی می‌توانند اشعاع شوند و جفت‌شدگی فازی Phase-conjugation از خود بروز دهند). پذیرفتاری‌های اپتیکی غیرخطی در کاربردهای تصویربرداری محدودسازی اپتیکی فمتوثانیه‌ای (Femtosecond optical limiting) و بیومدیکال اهمیت شایانی دارند. مواد دارای چنین ویژگی‌هایی از راه فتودینامیکی القای سه فوتونی (PDT) تأثیر بهسازی در درمان سرطان دارند. لیزرهای نیمه‌رسانا به دلایل زیر دارای جذابیت فراوان هستند: ۱) هزینه پایین و امکان تولید انبوه آسان ۲) پاسخ زمانی سریع (نانوثانیه‌ای) ۳) بازدهی الکتریکی به اپتیکی بالا ۴) درخشش بالا ۵) پذیرفتاری اپتیکی غیرخطی مرتبه سوم بالا (جفت‌کنندگی فازی).

یکی از جنبه‌های بسیار مهم نقاط کوانتومی آن است که بیناب اکسیتونی حتی در دمای اتاق نیز مشاهده می‌گردد [۶ و ۷]. این امر به دلیل افزایش انرژی بستگی اکسیتونی به دلیل اثر محدودیت کوانتومی در این ساختارها می‌باشد [۸]. در سال ۱۹۷۵، A. Esaki و همکاران (Esaki et al.) برای نخستین بار مفهوم سیم‌های کوانتومی و نقاط کوانتومی را ارائه دادند [۹]. با پیشرفت‌های تکنولوژیک کنونی اینک ساخت سیستم‌های شبه صفر بعدی که الکترون‌ها را در هر سه راستای فضایی محدود می‌سازند امکان پذیر شده است. در نقاط کوانتومی نیمه‌رسانا، حامل‌ها در سه بعد محدود می‌گردد که این امر منجر به افزایش همپوشانی میان ابرهای حفره‌ای و الکترونی می‌شود و درنتیجه انرژی بستگی کولنی و قدرت نوسانگری افزایش می‌یابد. در سال ۱۹۸۸، Eiichi Hanamura به طور تئوریک ویژگی‌های اپتیکی غیرخطی نیمه‌رساناهای میکروکریستالی را مورد مطالعه قرار داد و نشان داد که غیرخطی‌های اپتیکی در صورتی که آثار اکسیتونی لحاظ شوند بسیار بزرگ هستند. در سال ۱۹۹۳، Chen پذیرفتاری اپتیکی

$$\bar{J} = \frac{(Jm_e^* + J'm_h^*)}{(m_e^* + m_h^*)}$$

و حرکت نسبی با مختصه $J_r = J - J'$ نشان داده می‌شوند.
 $M = m_e^* + m_h^*$ همچنین جرم کل و جرم کاهش‌یافته
 $\mathfrak{N} = \frac{\mu e^4}{\hbar^2 s_0^2}$ و $\mu = \frac{m_e^* m_h^*}{M}$ را تعريف

می‌کنیم. به ازای پایین‌ترین حالت اکسیتونی می‌توان حرکت نسبی دو بعدی الکترون-حفره را چنین توصیف کرد:

$$\varphi(r) = \frac{4}{\sqrt{2\pi a_B^*}} e^{-2r/a_B^*} \quad (8)$$

که a_B^* جدایی میان الکترون-حفره و $r = u(J - J')$ شاعع مؤثر بوهر می‌باشد. بیناب انرژی اکسیتون در نقاط کوانتمی سهمی‌وار چنین است:

$$E_{nm} = E_g - \frac{\mathfrak{N}}{2(n+|m|+1/2)^2} + (2n+|m|+1)\hbar\omega_0 \quad (9)$$

که E_g گاف نواری انرژی نیمه‌رسانا باشد.

قدرت نوسانگری در نقاط کوانتمی سهمی‌وار

گشتاور دوقطبی گذار از حالت پایه ψ_g به حالت برانگیخته ψ_u در چارچوب یک نقطه کوانتمی سهمی‌وار به شکل زیر نوشته می‌شود:

$$\langle \psi_n | P | \psi_g \rangle = \sum_{jj'} \pi r^2 R_n(j) \varphi(j_j) \langle W_j^c(r_j) | p_j | W_j^v(r_{j'}) \rangle$$

$$= p_{cv} \varphi(0) \frac{\hbar}{M\omega_0} \int_0^{M\omega_0/\hbar R_0} \rho d\rho \left[\frac{2M\omega_0 n!}{\hbar(|m|+n)!} \right]^{\frac{1}{2}} \times \rho^{|m|} L_n^{|m|}(\rho)^2 e^{-\frac{\rho^2}{2}}$$

$$\times \int_0^{2\pi} \frac{1}{\sqrt{2\pi}} e^{im\theta} d\theta \quad (10)$$

در رابطه بالا P یک مؤلفه از اپراتور گشتاور دوقطبی P است:

$$P = \sum_{i=1}^3 p_i \quad (11)$$

$\langle W_j^c(r_j) | p_j | W_j^v(r_{j'}) \rangle = p_{cv} \delta_{jj'}$ عناصر ماتریس گذار به ازای همه مقادیر m به جز $m=0$ صفر می‌شوند:

$$\langle \psi_n | P | \psi_g \rangle = p_{cv} \varphi(0) \frac{\hbar \sqrt{2\pi}}{M\omega_0} \int_0^{M\omega_0/\hbar R_0} \rho d\rho \left[\frac{M\omega_0}{\hbar} \right]^{\frac{1}{2}} L_n(\rho^2) e^{-\rho^2/2} \quad (12)$$

بدین‌ترتیب گشتاور دوقطبی گذار از حالت پایه ψ_g به پایین‌ترین حالت اکسیتونی ψ_1 را می‌توان به صورت زیر نوشت:

$$\langle \psi_1 | P | \psi_g \rangle = p_{cv} \varphi(0) R_0^2 \left[\frac{M\omega_0 \pi}{\hbar} \right]^{\frac{1}{2}} \quad (13)$$

که $W_j^c(r_j)$ و $W_i^v(r_i)$ به ترتیب توابع وانیر

Wannier $R_n(j)$ تابع همپوشانی در یک نقطه کوانتمی دیسک مانند است و به صورت زیر داده می‌شود:

$$R_n(\rho) = \left[\frac{2m^* \omega_0 n!}{\hbar(|m|+n)!} \right]^{\frac{1}{2}} \times \rho^{|m|} L_n^{|m|}(\rho)^2 e^{-\frac{\rho^2}{2}} \frac{1}{\sqrt{2\pi}} e^{im\theta} \quad (2)$$

که در آن:

$$\rho = \sqrt{\frac{m^* \omega_0}{r \hbar}} = u j$$

و u اندازه سلول یکه می‌باشد. ضریب j عدد درستی بین ۱ و N

انتخاب شده و $L_n^{|m|}$ ، $n=0,1,2,\dots$ و $m=\pm 1, \pm 2, \dots$ چند جمله‌ای‌های وابسته لاغر و ω_0 بسامد پتانسیل محدودساز سهمی‌وار هستند. بیناب انرژی الکترون‌های رسانش را می‌توان به صورت زیر نوشت:

$$E_{nm} = (2n+|m|+1)\hbar\omega_0 \quad (3)$$

حالات پایه سیستم عبارت است از:

$$\psi_g = \prod_{i \neq j} W_i^v(r_i) \quad (4)$$

برای نوارهای والنس و رسانش سهمی‌وار جرم‌های مؤثر به ترتیب عبارت‌اند از: m_e^* و m_h^* ، کوانتش اندازه به‌وسیله $R_0 = Nu$ و شاعع‌های بوهر مؤثر

$$a_h^* = \frac{\hbar s_0}{e^2 m_h^*} \quad a_e^* = \frac{\hbar s_0}{e^2 m_e^*}$$

الکترون و حفره R_0 شاعع نقطه کوانتمی و ثابت دی‌کتریک استاتیک هستند. انرژی‌های کوانتش اندازه برای الکترون و حفره، به ترتیب از قرار زیر است:

$$\Delta E_c = \Delta E_v = \hbar\omega_0 \quad (5)$$

انرژی اکسیتونی به صورت زیر داده می‌شود:

$$V_{ext} = \frac{e^2}{s_0 a_B^*} = \frac{e^2}{s_0 (a_e^* + a_h^*)} \quad (6)$$

پس از لحاظ کردن برهمنکنش کولنی میانگین مابین الکترون‌ها و حفره‌ها و درنظر گرفتن مختصات نسبی و مرکز جرمی، حالت‌های اکسیتونی در معادله (۱) به شکل زیر تغییر می‌یابند:

$$\psi_n = \sum_j \sum_i \varphi(i_j) R_n(j) W_j^c(r_j) \prod_{i \neq j} W_i^v(r_i) \quad (7)$$

تابع پوش داده شده در معادله (۲) است و حرکت مرکز جرم اکسیتون با مختصه مرکز جرمی:

$$\begin{aligned} \chi^{(3)}(\omega; -\omega, -\omega, \omega) &= 5|P_{cv}|^4 |\varphi(0)|^4 R_0^8 \left(\frac{M\omega_0\pi}{\hbar}\right)^2 \\ &\times \frac{1}{[(\hbar\omega - \hbar\omega')^2 + (\hbar\gamma_{eg})^2] [(\hbar\omega - \hbar\omega') + i\gamma_{eg}\hbar]} \quad (16) \end{aligned}$$

با جداسازی بخش‌های حقیقی و موهومی به دست می‌آید:

$$Re \chi^{(3)} = \frac{5|P_{cv}|^4 |\varphi(0)|^4 R_0^8 (M\pi)^2}{\hbar^5} \frac{\omega_0^2 (\omega - \omega')}{[(\omega - \omega')^2 + \gamma_{eg}^2]^2}$$

$$Im \chi^{(3)} = \frac{-5|P_{cv}|^4 |\varphi(0)|^4 R_0^8 (M\pi)^2}{\hbar^5} \frac{\omega_0^2 \gamma_{eg}}{[(\omega - \omega')^2 + \gamma_{eg}^2]^2}$$

$P_{cv} = \frac{\hbar e}{\sqrt{4\mu E_g}}$ مقدار P_{cv} در تئوری اختلال $k.p$ به صورت درمی‌آید.

بحث

در ادامه، پذیرفتاری اپتیکی غیرخطی مرتبه سوم در نقطه کوانتومی سهمی‌وار $CdTe$ مورد بحث قرار می‌گیرد. پارامترهای مورد استفاده $\omega_0 = 5 \times 10^{13} s^{-1}$, $\omega_1 = \omega_2 = \omega$, $\gamma_{eg} = 0.1 \gamma_{eg}$, $m_e^* = 0.2 m_0$, $m_h^* = 0.7 m_0$, $s_0 = 8.85$, $E_g = 1.606 eV$ است.

در شکل ۱، بخش حقیقی ($Re \chi^{(3)}$)، موهومی ($Im \chi^{(3)}$) و پذیرفتاری اپتیکی غیر خطی مرتبه سوم $\chi^{(3)} = \sqrt{(Re \chi^{(3)})^2 + (Im \chi^{(3)})^2}$ به صورت تابعی از بسامد فوتونی ω با فرض بسامد محدودسازی سهمی‌وار $\omega_0 = 5 \times 10^{13} s^{-1}$ نمایانده شده‌اند. روشن است که پیک بیشینه در بسامد $\omega = 2.43 \times 10^{15} s^{-1}$ (انرژی فوتونی $h\nu = 1.603 eV$) رخ می‌دهد که ناشی از افزایش رزونانس دوفوتونی است.

شکل ۲، پذیرفتاری اپتیکی غیرخطی مرتبه سوم را به صورت تابعی از بسامد فوتونی ω بازی از مقدارهای گوناگون بسامد محدودسازی سهمی‌وار ω_0 نشان می‌دهد:

$$\omega_0 = 5 \times 10^{13} s^{-1} \quad (a)$$

$$\omega_0 = 3 \times 10^{13} s^{-1} \quad (b)$$

$$\omega_0 = 1 \times 10^{13} s^{-1} \quad (c)$$

نمای برجسته این شکل‌ها آن است که محدودیت سهمی‌وار شدیدتر هم‌ارز با پیک تیزتر و بلندی پیک بزرگ‌تر خواهد بود.

به کمک تقریب تابع پوش قدرت نوسانگر اکسیتونی f_{ex} به‌ازای پایین‌ترین حالت اکسیتونی چنین می‌شود:

$$f_{ex} = \frac{2m}{\hbar} \omega^4 |P_{cv}|^2 |\varphi(0)|^2 R_0^4 \frac{M\omega_0\pi}{\hbar} \quad (14)$$

که بسامدگذار می‌باشد.

غیرخطی اپتیکی مرتبه سه در نقاط کوانتومی سهمی‌وار

در این بخش غیرخطی اپتیکی مرتبه سوم $\chi^{(3)}$ در نقاط کوانتومی سهمی‌وار مورد بررسی قرار می‌گیرد. به‌دلیل تقارن وارون، غیرخطی اپتیکی مرتبه دو در این ساختارها صفر است، در حالی که غیرخطی $\chi^{(3)}$ مرتبه سوم صفر نیست. در ادامه نشان داده می‌شود که در نقاط کوانتومی افزایش بسیاری می‌یابد. این افزایش پیامدی است از محدودیت کوانتومی اکسیتون‌ها در نقاط کوانتومی. پذیرفتاری اپتیکی غیرخطی مرتبه سه در نقاط کوانتومی سهمی‌وار با کارگیری مدل سه ترازی گذارهای اکسیتون-بای اکسیتون (Biexciton) محاسبه می‌گردد. از این‌جا به بعد حالت پایه با اندیس g ، حالت برانگیخته با e و حالت بای اکسیتونی با b نشان‌گذاری می‌شوند. با استفاده از روش فشرده ماتریس چگالی Density matrix می‌توان پذیرفتاری مرتبه سه غیرخطی را که متناظر با آمیزش اپتیکی پرتوهای نور فروندی با

بسامدهای ω_1 و ω_2 است، به صورت زیر به دست آوردن:

$$\begin{aligned} \chi^{(3)}(2\omega_1 - \omega_2; -\omega_1, -\omega_2, \omega_2) &= -\frac{i|P_{eg}|^4}{2\hbar^5} \frac{1}{(\omega_{eg} - 2\omega_1 + \omega_2)i + \gamma_{eg}} \\ &\times \frac{1}{(\omega_1 - \omega_2)i + \gamma_1^2} \left[\frac{1}{(\omega_{eg} - \omega_1)i + \gamma_{eg}} + \frac{1}{(\omega_2 - \omega_{eg})i + \gamma_{eg}} \right] \\ &+ \frac{i|P_{eg}|^2 |P_{be}|^2}{4\hbar^3} \times \frac{1}{(\omega_{be} - 2\omega_1 + \omega_2)i + \gamma_{be}} \left[\frac{1}{(\omega_2 - \omega_1)i + \gamma_1^2} \right. \\ &\times \left. \frac{1}{(\omega_{eg} - \omega_1)i + \gamma_{eg}} + \frac{1}{(\omega_2 - \omega_{eg})i + \gamma_{eg}} \right] - \frac{i|P_{eg}|^2 |P_{be}|^2}{4\hbar^3} \\ &\times \frac{1}{(\omega_{eg} - 2\omega_1 + \omega_2)i + \gamma_{eg}} \times \frac{1}{(\omega_{eg} - 2\omega_1)i + \gamma_{eg} (\omega_{eg} - \omega_2)i + \gamma_{eg}} \\ &+ \frac{i|P_{eg}|^2 |P_{be}|^2}{4\hbar^3} \frac{1}{(\omega_{be} - 2\omega_1 + \omega_2)i + \gamma_{be}} \\ &\times \frac{1}{(\omega_{eg} - 2\omega_1)i + \gamma_{eg} (\omega_{eg} - \omega_1)i + \gamma_{eg}} \quad (15) \end{aligned}$$

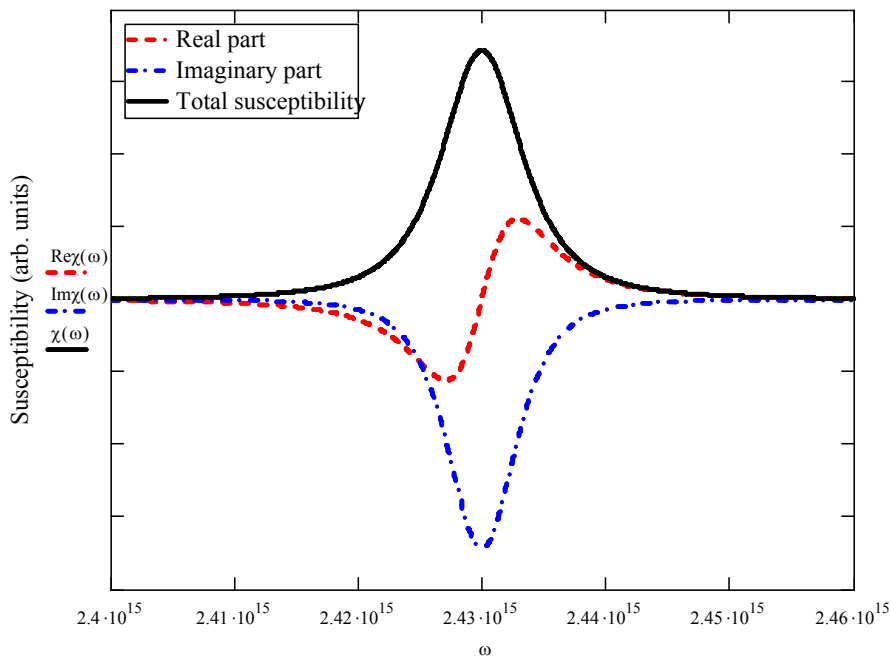
در رابطه بالا، γ_{ij} ، $\hbar\omega_{ij}$ و P_{ij} به ترتیب نشان‌گذاری گشتاور دوقطبی‌گذار، اختلاف انرژی و آهنگ تغییر فاز گشتاور دوقطبی‌گذار بین حالت‌های i و j می‌باشد. بهمین ترتیب γ_{12} ، $\hbar\omega_{12}$ و P_{12} آهنگ واپاشی جمعی حالت اکسیتونی (بای اکسیتونی) می‌باشد. به عنوان کاربردی از معادله (۱۵) و برای مشاهده رفتار نمونه‌ای غیرخطی اپتیکی مرتبه سوم ثابت‌های واهلش و بسامدهای گذار برای نقاط کوانتومی سهمی‌وار به صورت زیر برگزیده می‌شوند:

$$\gamma_{he} = \gamma_{eg}, \gamma_1^2 = 0.1\gamma_{eg} \text{ و } \omega_{eg} = \omega_{he} = \omega$$

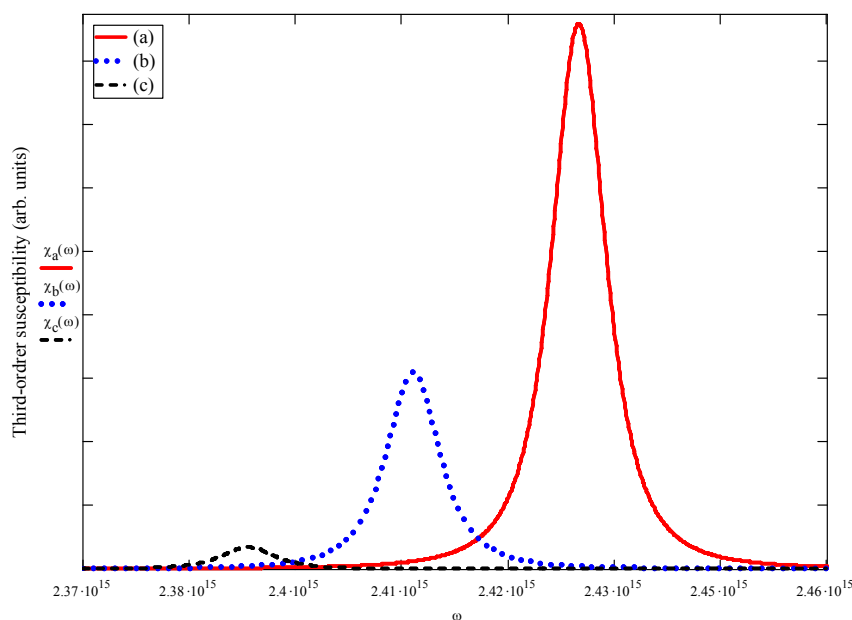
برای ساده‌سازی در ادامه حالت تبیه‌گن یعنی $\omega_1 = \omega_2 = \omega$ را در نظر می‌گیریم و درنتیجه معادله (۱۵) به صورت زیر درمی‌آید:

کوانتومی نیمه‌رسانا پیش‌بینی می‌کند. این امر نقاط کوانتومی سهمی‌وار را گزینه‌ای امیدبخش در کاربردهای اپتیکی غیرخطی می‌سازد.

هنگامی که بسامد محدودسازی سهمی‌وار ω_0 افزایش می‌یابد، مکان پیک به سمت راست منحنی جابجا می‌گردد که جابجایی آبی (Blue-shift) محدودیت القا شده شدید رزونانس اکسیتون را در نقطه



شکل ۱ - پاشندگی بسامدی پذیرفتاری اپتیکی غیر خطی مرتبه سوم $\chi^{(3)}$ با بسامد محدودساز سهمی‌وار $\omega_0 = 5 \times 10^{13} s^{-1}$. منحنی‌های خط چین، خط چین- نقطه و توابع به ترتیب نشان‌دهنده بخش حقیقی، انگاری و پذیرفتاری کل می‌باشند.



شکل ۲ - پذیرفتاری اپتیکی غیر خطی مرتبه سوم بر حسب بسامد فوتونی به‌ازای مقادیر گوناگون بسامد محدود ساز: $\omega_0 = 1 \times 10^{13} s^{-1}$ (c), $\omega_0 = 3 \times 10^{13} s^{-1}$ (b), $\omega_0 = 5 \times 10^{13} s^{-1}$ (a)

کریستالیت‌های نانومتری را به گونه‌ای تغییر داد که محدودیت‌های کوانتومی در بازه دلخواه ایجاد شود، بهاین معنا که با این کار می‌توان فرکانس و درنتیجه شدت لیزر تولید شده را با آزادی عمل بیشتری برای کاربردهای گوناگون پزشکی و در مورد بافت‌های بیولوژیک مختلف تنظیم نمود. همچنین از نتایج پژوهش انجام‌شده چنین برمی‌آید که پذیرفتاری اپتیکی غیرخطی مرتبه سوم به محدودسازی اکسیتون بسیار حساس است. با توجه به نتایج بدست آمده و مزیت لیزرهای برقایه نقاط کوانتومی و حساسیت آن‌ها به محدودسازی اکسیتون پیشنهاد می‌گردد پژوهش‌هایی در زمینه اشکال مختلف نقاط کوانتومی (استوانه‌ای، کروی و...) و تأثیر آن‌ها بر مشخصه‌های الکترواپتیکی باریکه‌های تولیدشده صورت پذیرد. با درنظر داشتن این موضوع که در روش‌های تشخیص طبی که از ویژگی تحریک نقطه کوانتومی و ایجاد درخشش توسط آن بهره گرفته می‌شود، نیاز است که ابزار مبتنی بر نقاط کوانتومی از مواد سازگار با بیولوژی بدن انسان ساخته شوند. پیشنهاد می‌گردد که کار مشابهی بر روی نقاط کوانتومی با ویژگی‌های غیرخطی مبتنی بر کامپوزیت‌های ساخته شده از برخی پلیمرها مانند پروتئین‌ها صورت گیرد.

به‌دلیل محدودیت اکسیتونی در نقاط کوانتومی، شعاع بوهر مؤثر اکسیتون  در مقایسه با مادة کپهای کاهش می‌یابد. از معادله‌های (۸) و (۱۶) می‌توان دریافت که پذیرفتاری اپتیکی غیرخطی مرتبه سوم به صورت وارون توان چهارم به طور حساسی به  وابسته است $X^{(3)} \sim 1/(a_0^4)$ بدین ترتیب کاهش  منجر به افزایش بسیاری $X^{(3)}$ می‌گردد.

نتیجه گیری

در مطالعه حاضر بررسی سرراست و ساده‌ای درباره غیرخطی اپتیکی مرتبه سوم در نقاط کوانتومی نانومتری انجام داده‌ایم. نتایج نشانگر آن است که پذیرفتاری غیرخطی اپتیکی مرتبه سوم  در کل به‌دلیل کوانتیزه شدن اکسیتون‌ها در نقاط کوانتومی افزایش چشمگیری می‌یابد. چنین امری یعنی افزایش فراوان پذیرفتاری غیرخطی اپتیکی مرتبه سوم، به نوبه خود سبب اشباع شدگی بیشتر و بروز جفت‌شدگی فازی بالاتر و درنتیجه امکان دستیابی به باریکه‌های لیزری قدرتمندتر و متنوع‌تر را فراهم می‌آورد. از سوی دیگر بسته به روش و شرایط رشد کریستال‌های نقاط کوانتومی می‌توان با مهندسی مناسب، ابعاد

References

1. Xie W. Optical absorptions of an exciton in a disc-like quantum dot under an electric field. Optics Communications 2010; 283: 1381–5.
2. Germann TD, Strittmatter A, Pohl UW, Bimberg D, Rautiainen J, Guina M, Okhotnikov O.G. Temperature-stable operation of a quantum dot semiconductor disk laser. Journal of Crystal Growth 2008; 310: 5182–6.
3. Ivchenko EL. Optical Spectroscopy of Semiconductor Nanostructures, Alpha Science International Ltd, 2005.
4. Chen R, Lin DL, Mendoza D. Enhancement of the third-order nonlinear optical susceptibility in Si quantum wires. Phys Rev B 1993; 48:11879-82.
5. Papagiannaros A, Upponi J, Hartner W, Mongayt D, Levchenko T, Torchilin V. Quantum dot loaded immunomicells for tumor imaging. BMC Medical Imaging 2010; 10: 22.
6. Weiner JS, Chemla DS, Miller DAB, Wood TH, Sivco D, Cho AY. Room temperature excitons in $1.6\text{ }\mu\text{m}$ band-gap GaInAs/AlInAs quantum wells. Appl Phys Lett 1985; 46(7): 619-23.
7. Miller DAB, Chemla DS, Smith PW, Gossard AC, Wiegmann W. Nonlinear optics with a diode-laser light source. Opt Lett 1983; 8: 477-98.
8. Brus LE. A simple model for the ionization potential, electron affinity, and aqueous redox potentials of small semiconductor crystallites. J Chem Phys 1983; 79: 5566-8.
9. Guo KX, Chen CY. The polaron effects on second-harmonic generation in quantum well within an electric field. J. Infrared Millim. Waves 1997; 16: 93-5.
10. Takagahara T. Biexciton states in semiconductor quantum dots and their nonlinear optical properties. Phys Rev B 1989; 39: 9293-6.
11. Chang K, Xia JB. Spatially separated excitons in quantum-dot quantum well structures. Phys Rev B 1998; 57: 9780-6.